



MICROFICHE N°

04483

République Tunisienne

MINISTÈRE DE L'AGRICULTURE

CENTRE NATIONAL DE

DOCUMENTATION AGRICOLE

TUNIS

الجمهورية التونسية
وزارة الزراعة

المركز القومي
للتوثيق الفلاحي
تونس

F I

DIRECTION
DES RESSOURCES EN EAU

ETUDE DE LA NIVEAU MENSUELLE
DE L'EAU

1960-1961

1960-1961

REPUBLICAN PARTY
STATE OF MASSACHUSETTS
COMMISSIONERS OF THE LANDS
AND FOREST RESOURCES

STATE OF MASSACHUSETTS
COMMISSIONERS OF THE LANDS
AND FOREST RESOURCES

MASSACHUSETTS

MASSACHUSETTS

S O M M A I R E

- I/ - INTRODUCTION
- II/ - MÉTÉOROLOGIE
 - II-1- Les nuées
 - II-2- Le ruissellement
 - II-3- Pluviométrie
- III/ - CARACTÉRISTIQUES GÉOLOGIQUES ET TECTONIQUES
 - III-1- Caractéristiques géologiques
 - III-2- Caractéristiques tectoniques
- IV/ - CARACTÉRISTIQUES HYDROGÉOLOGIQUES
 - IV-1- Les formations aquifères
 - IV-2- Piézométrie de la nappe pédonale de Marzin
- V/ - CARACTÉRISTIQUES CHIMIQUES DE LA NAPPE PÉDONALE DE MARZIN
 - 1- Carte des isochèmes
 - 2- Composition chimique
- VI/ - EXPLOITATION DE LA NAPPE PÉDONALE DE MARZIN
- VII/ - PROSPECTS POTENTIELLES SIMILAIRES
- VIII/ - CONCLUSION

LE TIERS DE LA SAISON HYVERNALE EN
SAHARA

II - INTRODUCTION

Géographiquement la région de Murzuk est limitée :

- au Nord par El-Djebel Nefous et El-Djebel Murzuk
- au Sud par Oued Righanouch, Arzet et la chaîne des Matankas
- à l'Ouest par Oued el Koucha, Koucha, Doudj et Phoufouh
- à l'Est par Oued el Koucha et Tarat.

Dans cette région la concentration des points de surface est importante surtout dans le Sud de la zone qu'à l'Ouest n.d.d. dans la région de Sagui Murzuk. Cette concentration n'a pour effet que d'accentuer l'exploitation de la nappe d'eau dans les années où on rencontre le moins en moyenne l'effet de l'augmentation de l'exploitation afin de pouvoir mieux contrôler les nouvelles créations au point de surface.

III - DESCRIPTION

III-1. Les plaines :

La plaine de Murzuk est allongée par deux principaux axes :

1. Oued Righanouch : Cet oued s'étend sur une longueur de 213,9 km, il est limité au Nord par la chaîne de Murzuk (Matankas), jusqu'à la mer et par le plateau de Murzuk au Sud jusqu'à une altitude moyenne de 700 mètres.

La plaine sous cette zone présente pour caractéristiques les deux axes principaux de Murzuk et de Sagui Murzuk pour aboutir à la mer en traversant la chaîne (S. Murzuk, 1967)

Les caractéristiques principales de Murzuk sont les suivantes :

- Longueur de l'axe principal	= A	= 213,9 km
- Largeur	= B	= 36,2 km
- Surface de la plaine de Murzuk	= A x B	= 0,28 x 10 ¹⁰ = 1,64
- Longueur de l'axe principal de Sagui Murzuk	= C	= 85,17 km
- Largeur	= D	= 4,96 km
- Surface de la plaine de Sagui Murzuk	= C x D	= 0,13 x 10 ¹⁰

20/1/68

- Débit (R ₂₀ - R ₂₀₀)	: D	= 420 m
- Débit spécifique $10 \sqrt{S}$: D _s	= 162,3 m
- Altitude maximale	: H _{max}	= 733 m
- Altitude minimale	: H _{min}	= 7,0 m

Il s'agit d'un bassin très allongé à relief assez fort ce qui favorise une concentration rapide des eaux de ruissellement à son extrémité au profit de l'infiltration.

Le basin de Muret : Cet bassin qui prend naissance au niveau des jumeaux de Muret (altitude à 485 m), occupe un bassin versant de 177 km² et se poursuit jusqu'à la plaine de Muret Muret pour aboutir à la mer.

Les caractéristiques physiques du bassin de cet cours d'eau, également, par H. POISS (1979) sont :

- Superficie du bassin versant	: S	= 177 km ²
- Périmètre	: P	= 89,5 km
- Indice de compacité de gravité	: K _c	= 1,30
- Dimension du rectangle équivalent	: longueur	= 57,2 km
	: largeur	= 7,45 km
- Débit spécifique $10 \sqrt{S}$: D _s	= 165,5 m
- Altitude maximale	: H _{max}	= 640 m
- Altitude minimale	: H _{min}	= 6,0 m

Il s'agit d'un bassin allongé à relief assez fort.

III-6- Régimes hydrographiques :

Le régime de stations hydrographiques au nord de la plaine de Muret peut être caractérisé par les aspects de son débit moyen et nous pouvons par le calcul de la quantité d'eau d'écoulement (avec des précipitations des années, les données hydrographiques établies par H. POISS (1979),

$$L_e = 102,9 \cdot 10^{-4} \sqrt{S}$$

- L_e : ligne isohyète en km
- S : plaine versant en km²
- L_e : indice de pente global en km.

4 permet de caractériser le régime hydrographique par la formule suivante :

- Oued Sigmasa : Vr = 2306,5 x 10³ m³
- Oued Bagui Maroth : Vr = 1729,6 x 10³ m³

II-3- Pluviométrie :

L'absence des données pluviométriques des stations de Maroth et de Foujane seule qui datent de 1950 a permis de tirer les valeurs de la pluviométrie annuelle enregistrées dans chaque station (tableau 1, annexe). La pluviométrie moyenne interannuelle pour chacune des deux stations figurées sur le tableau ci-dessus n'est qu'approximative et ceci est dû à un manque de données parfois à l'échelle annuelle comme dans le cas de la station Foujane (1969-70, 1971-72 et 1973-74) pour laquelle les lacunes sont parfois de l'ordre d'un mois.

D'après la carte des isohyètes des bassins de la Djiffara de Gabès (plaque 1) établie par H. FERRI (1979) on maintiendra la valeur de 190 mm comme pluviométrie moyenne interannuelle sur la plaine de Maroth et on considèrera une valeur supérieure à celle-ci au niveau des Jebels, ce qui fait que la valeur indiquée dans le tableau ci-dessus au niveau de la station Foujane seule n'est pas réaliste et devrait à être revue.

III/ - CARACTÉRISTIQUES GÉOLOGIQUES ET TECTONIQUES

Voici sommairement les formations du Mio-pliocène et Quaternaire reconnues par les forages de la région et qui sont les principales formations géologiques dans lesquelles se loge la nappe phréatique.

1- Le Mio-pliocène :

a) - Forage N°1 : Le Mio-pliocène débute presque toujours par des dépôts tertiaires ayant parfois la consistance de calcaire lacustre, viennent ensuite des sables tuffeux et gypseux. La partie supérieure est formée surtout de lentilles de sable, d'argile et de sable rouge à gypse et de gravier de dimensions variables.

L'épaisseur de ce Mio-pliocène enregistrée au forage Maroth 3 (N° 188 : 1515/3) est de 172,6 m. Elle est respectivement de 163 m et 134,5 m dans les forages de Maroth 4 (N° 188 : 1371/3) et de Maroth 1 (N° 188 : 63/3).

Le maximum d'épaisseur de ce Mio-pliocène (274 m) est enregistré dans le forage de Maroth 3bis (N° 188 : 16436/3).

- Grand Ligament : $V_r = 2006,5 \times 10^3 \text{ m}^3$
- Canal Sogol Karak : $V_r = 1120,6 \times 10^3 \text{ m}^3$

II-3- Pluviométrie :

L'examen des données pluviométriques des stations de Karak et de Soujeou Soule qui datent de 1950 a permis de tirer les valeurs de la pluviométrie annuelle enregistrée dans chaque station (tableau 1, annexes). La pluviométrie moyenne interannuelle pour chacune des deux stations figurées sur la tableau ci-dessus n'est qu'approximative et ceci est dû à un manque de données partielles à l'échelle annuelle dans le cas de la station Soujeou (1969-70, 1971-72 et 1973-74) pour laquelle les données sont partielles de l'ordre d'un mois.

D'après la carte des isohyètes des bassins de la République de Tchad (planche 1) établie par R. FROST (1971) on a retenu la valeur de 190 mm comme pluviométrie moyenne interannuelle sur la plaine de Karak et on considère ce valeur supérieure à celle de ce niveau des plateaux, ce qui fait que la valeur indiquée dans le tableau ci-dessus au niveau de la station Soujeou Soule n'est pas réaliste et demande à être revue.

III - LES FORMATIONS QUATERNAIRES ET TERTIAIRES

Nous passerons les formations du Néopliocène et Quaternaire recouvertes par les dunes de la région et qui sont les dernières formations géologiques dans lesquelles on lit la carte géologique.

1- Le Néopliocène :

a) - Néopliocène : Le Néopliocène est représenté par les dunes qui sont toujours par les dunes le plus souvent avec parfois la présence de calcaire laminaire, vitricité, sable, argile, les couches d'argile et de sable, la partie supérieure est formée surtout de lamelles de sable, d'argile et de sable rouge à jaune et de gravier de formation récente.

L'affleurement de ce Néopliocène est représenté en coupe Karak 1 (N° 148 + 151/5) est de 172,5 m. Elle est représentée de 148 m et 154,5 m dans les coupes de Karak 2 (N° 148 + 151/5) et de Karak 3 (N° 148 + 151/5).

Le dernier affleurement de ce Néopliocène (N° 148) est représenté dans la coupe de Karak 4 (N° 148 + 151/5).

b) - Partie Ouest ././ G21 : Dans la région de Segui Mareth le Mio-pliocène débute par des éléments graveleux, parfois conglomératiques, est discordant sur les calcaires du Sénonien inférieur (Fig. 1). Dans le forage du Bahar et Tior (N° 188 : 18794/5) profond de 150 m, le Mio-pliocène est constitué par une argile buffeuse à éléments graveleux arrondis, son épaisseur est de 75 m (-75 ; -100 m ././ TR). Au niveau du forage Segui Mareth 1 (N° 188 : 18855/5), profond de 235 m, le Mio-pliocène est représenté sur une épaisseur de 60 m environ (20 à 100 m ././ TR), par une argile graveleuse avec du gravier au lit d'aoud.

Dans le forage de Segui Mareth 2 (N° 188 : 19124/5), profond de 189 m, le Mio-pliocène épais de 65 m environ (25 à 119 m ././ TR) est représenté par de l'argile massive graveleuse et de graviers calcaires.

Des corrélatives établies entre les forages de la région de Mareth, montrent que :

- Le forage Mareth 0 (N° 188 : 8130/5) jusqu'au forage Segui Mareth 2 (N° 188 : 19124/5) (Fig. 2), le Mio-pliocène de nature argileuse ou argilo-sableuse, présente une proportion d'éléments grossiers enrobés dans la matrice argileuse et qui existent à l'état de sautoir. Ce Mio-pliocène présente également des dépôts tertiaires qui proviennent de l'importance dans la zone aval.

En point de vue épaisseur on remarque que le maximum de la sédimentation mio-pliocène est enregistré dans la zone située à l'Est de la G21, il y a donc une réduction de l'épaisseur du Mio-pliocène au niveau du Segui Mareth.

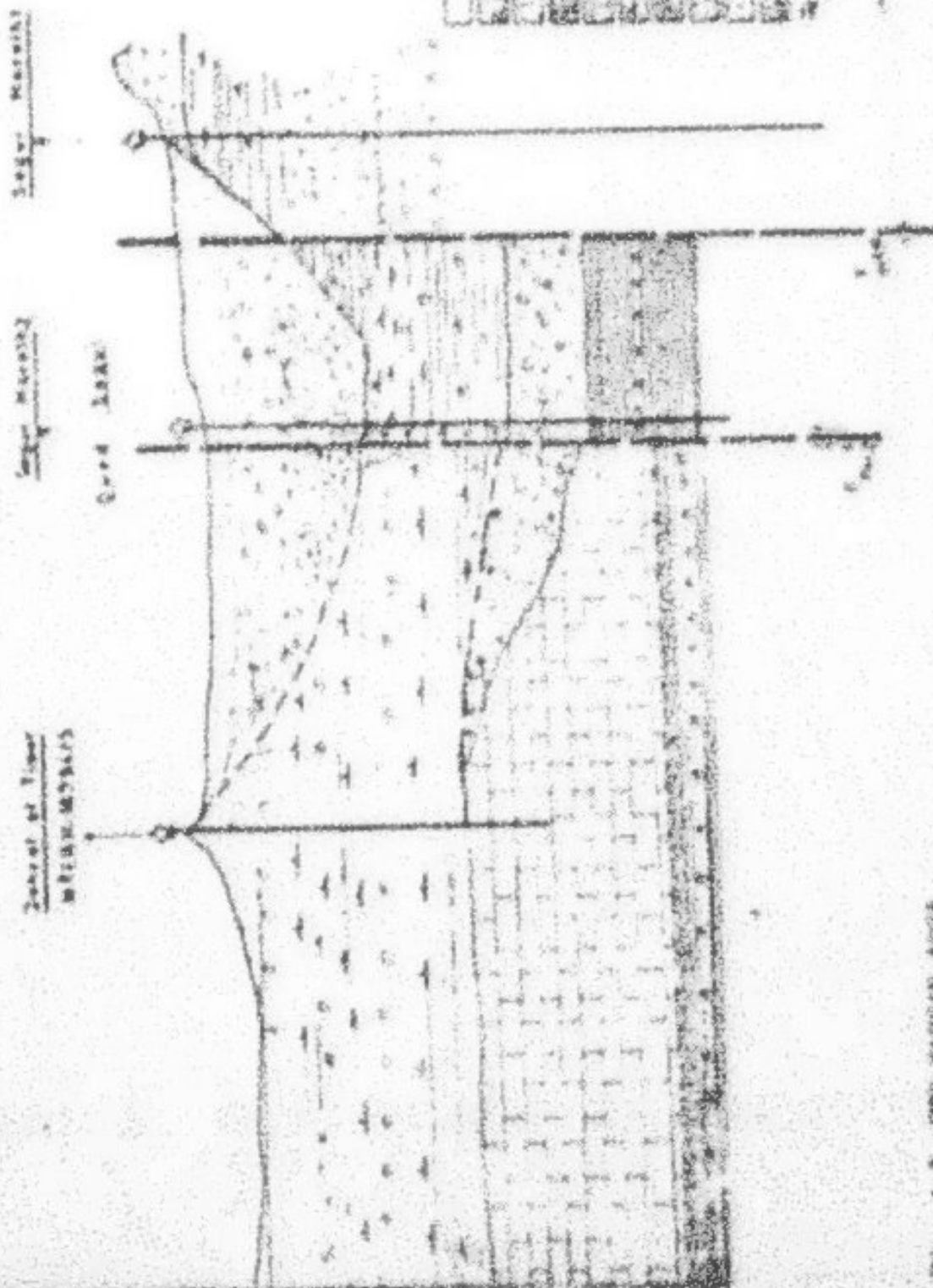
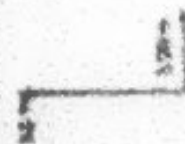
- La corrélation N-02 (Fig. 3) entre le forage Segui Mareth 1 (N° 188 : 18794/5) et le forage Arva D (N° 188 : 14007/5) montre que du point de vue faune ou à la même sédimentation stratigraphique mentionnée précédemment. L'épaisseur du Mio-pliocène augmente au relief de Bahar et Tior jusqu'à Arva.

2- Le Quaternaire :

Les dépôts de cette époque sont assez variés. Dans la région de Segui Mareth, au niveau du forage Bahar et Tior (N° 188 : 18794/5), le Quaternaire épais de 25 m est constitué par des tuffes rouges et de l'argile buffeuse à éléments arrondis.

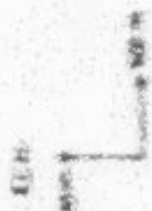
COUPE A TRAVERS LE SECON DE MARETH

613



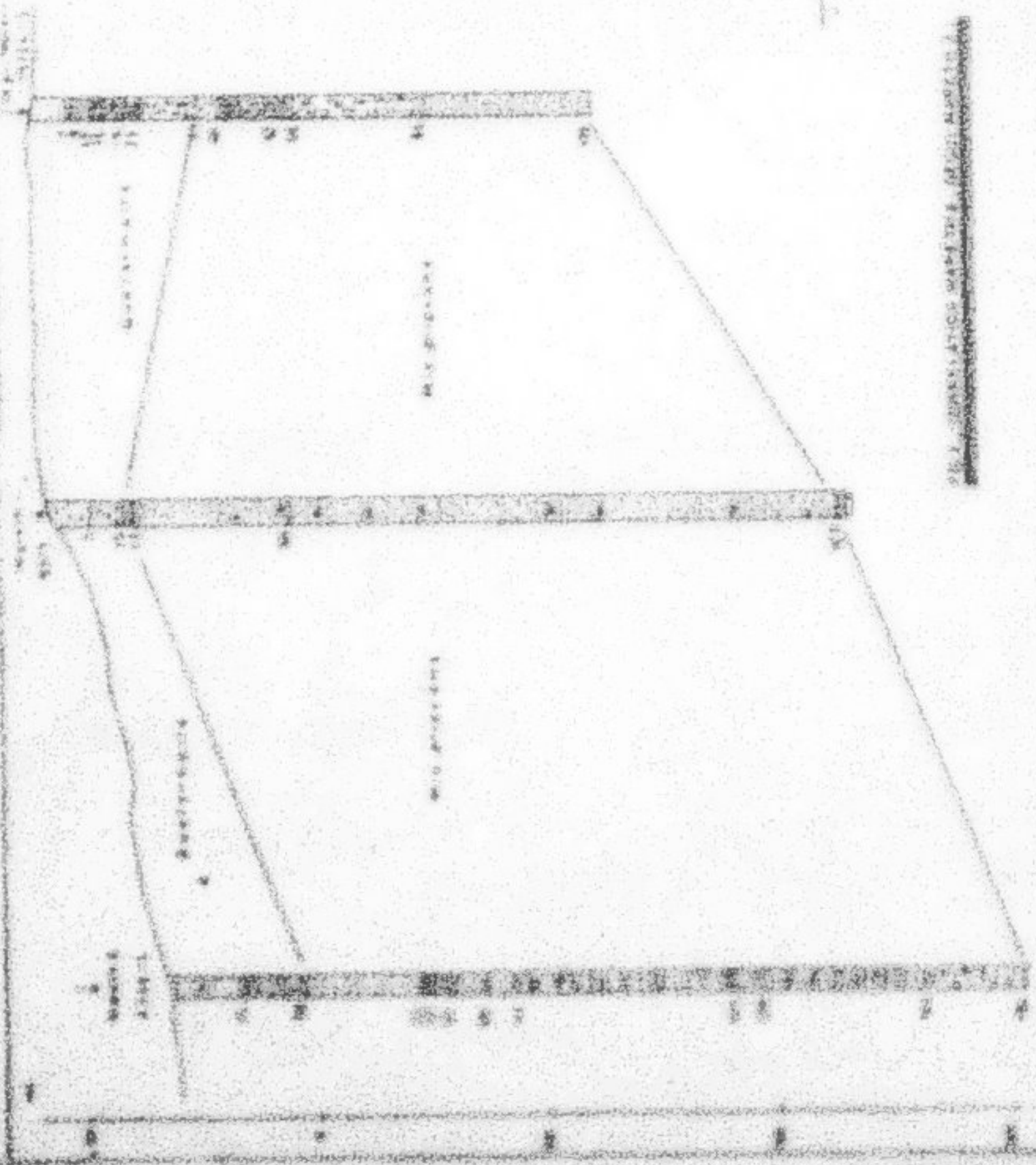
- Le g e n e r e
- Eau et sable grisâtre
 - Argile griseâtre
 - Sables et graviers
 - Argile blanche
 - Argile
 - Argile blanche et griseâtre
 - Argile blanche et griseâtre
 - Sable et gravier blancs
 - Cailloux du quaternaire inférieur
 - Marnes calcaires et marne griseâtre du quaternaire
 - Falaise
 - Village
 - Ligne d'affleurement de la roche
- SISTÈME QUATÉNAIRE
- MIO-PLIOCENE

Fig. 1 B. 300 MARS 1945

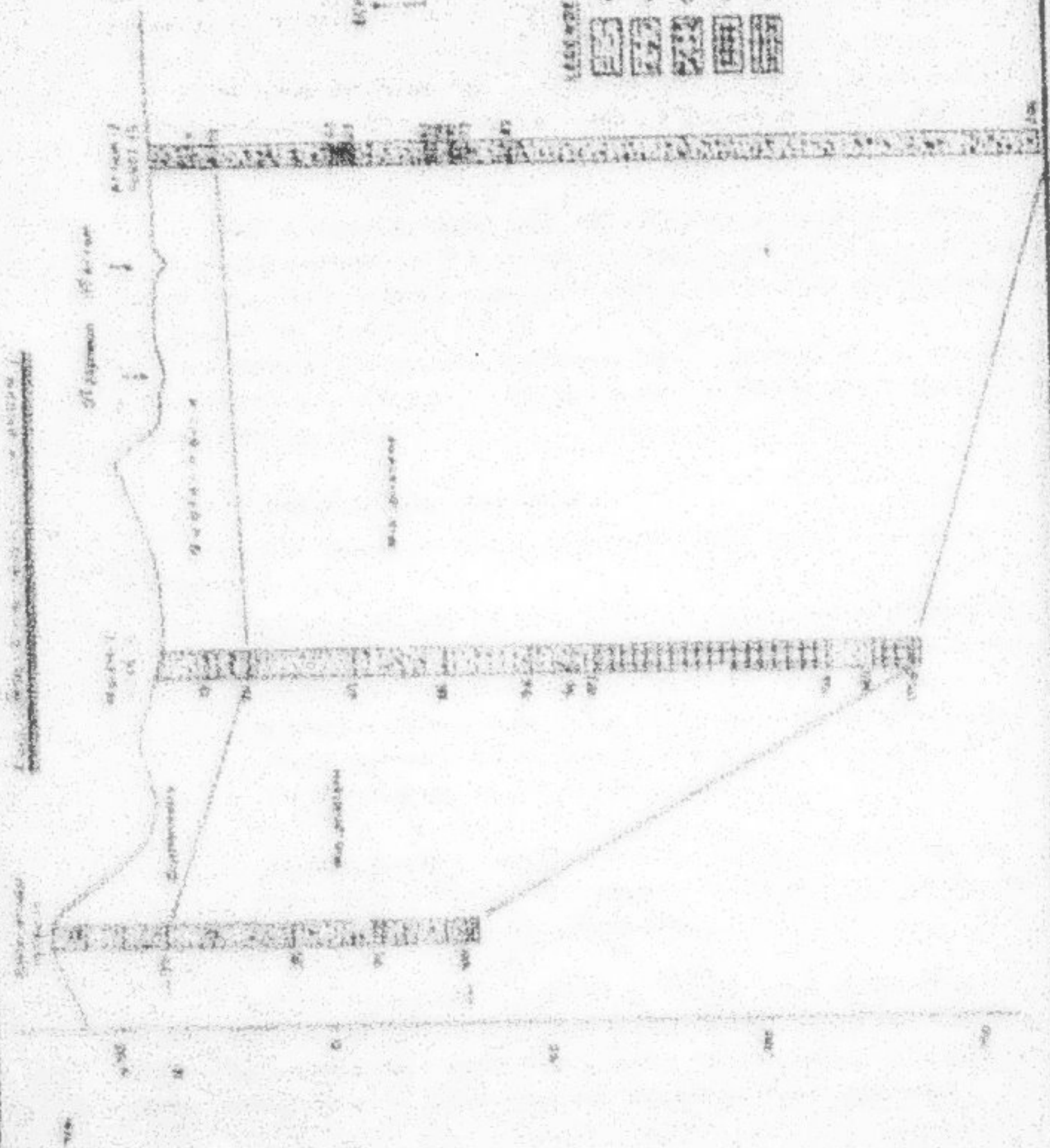


LEGENDA

- Sable
- Sable et gravier
- Argile
- Argile aplombée
- Sables et argiles
- Calcaires
- Argiles indurées



PLAN GÉOLOGIQUE DU VAL DE LA SÈVE



LEGEND

-  Street width
-  Right of way
-  Curbs
-  Sidewalks
-  Curb cuts

Dans le forage de Nagui Karah 1 (N° 101 : 1886/7), le Quaternaire épais d'environ 25 m est formé par de l'argile rouge et jaune très grossière et du gravier de lit d'eau.

au niveau de forage Nagui Karah 2 (N° 102 : 1912/3), la sédimentation quaternaire épaisse de 35 m environ est formée par des sables et sable argileux, du gravier calcaire et de galets.

Dans le forage de Karah 3 (N° 103 : 1936/7), la paléontologie de cette formation quaternaire est de 30 m. Elle est à la base par des galets et sables galets (argile d'eau) et au sommet par une sédimentation fine de sable argileux renfermant des graviers calcaires.

Cette sédimentation détritico-calcaire (récent) caractérisée par des éléments grossiers à la base (calcaire) et des éléments fins au sommet indique un cycle sédimentaire complet.

III-4- Structures tectoniques :

Deux importantes failles de direction N-S traversent la région de Nagui :

- Faille de Nagui qui est une faille profondément ancrée dans le socle. C'est la plus importante faille dans la région de Nagui qui présente un rejet de 3'000 m. Au nord de Nagui, cette faille est en contact avec l'unité méso-égyptienne du Bassin Intérieur puis avec la Nubie au moyen de l'unité (S. K. Hassan, 1961).
- Faille de Karah : moins importante que la faille de Nagui, son rejet est de l'ordre de 500 à 1000 m, son tracé est jalonné par une série de petites failles, Karah, Indine.

Ces deux failles sont à l'origine de l'effondrement de la zone de la Nagui qui a eu lieu pendant la période comprise entre l'Eocène supérieur et le Miocène. Cet effondrement a engendré le Bassin de Nagui dans lequel la sédimentation détritico-calcaire présente une épaisseur importante.

IV/ - CARACTERISTIQUES HYDROGEOLOGIQUES

IV-1- Les formations aquifères :

Dans la région de Gabès Sud deux formations constituent l'aquifère de la nappe superficielle.

- Les formations grossières et détritiques du Quaternaire
- Les formations argile-sablonneuses du Mio-pliocène.

Dans la région de Maréth, les puits captent les niveaux alluvionnaires et détritiques du Quaternaire (récent) résultant d'une ancienne activité hydrographique qui a engendré des plaines plus ou moins étendues. Ces puits ont une profondeur variable entre quelques mètres et 30 mètres environ.

IV-2- Piézométrie de la zone karstique de Maréth (planche 2)

En utilisant les données de 59 puits de surface de la région de Maréth (tableau 2 ; annexe), on a pu établir une carte des isopièzes qui montre que l'écoulement s'effectue des reliefs vers la côte. On y distingue trois axes d'écoulement dont deux suivent sensiblement les lites des crues qui constituent des zones préférentielles d'alimentation.

a) - Un premier écoulement parallèle au lit d'oued Ziguana, de direction SW-NE. Cet écoulement se répartit en deux directions :

a-1- un écoulement SE-NW qui se fait vers la plaine du Segui Maréth.

a-2- un écoulement Sud-Nord qui aboutit à la zone à forte densité de puits située à l'Est de la GP1.

b) - Un deuxième écoulement parallèle au lit d'oued el Fossiba de direction SW-NE. Cet écoulement se déverse dans la zone du Segui Maréth.

c) - un troisième écoulement, de direction NE-SW qui s'effectue à partir de Daher et Tiour vers l'Est de la GP1.

Le gradient hydraulique de cette nappe est de 3‰ dans la zone avant. Cette faible valeur se traduit par un espacement des courbes isopièzes. Ceci confirme que l'origine de l'alimentation de cette nappe semble étroitement liée à l'infiltration des eaux des crues.

.../...

Dans le zone aval le gradient hydraulique atteint $0\%_{100}$.

Les dépressions que présente la piézométrie dans cette zone à forte densité de puits sable s'expliquent par une intensification de l'exploitation de cette nappe dont le détail sera présenté ultérieurement.

V/ - CARACTÉRISTIQUES CRIMÉES DE LA NAPPE PHRÉATIQUE DE MARSA

1°) Carte des isopièzes : planche 5

Cette carte est établie à partir des données du résidu des des eaux prélevées au cours de l'inventaire 1965 sur un échantillon de 48 puits (tableau 3, annexe) de l'ensemble des puits de la région.

On a utilisé également, les données de quelques points d'eau prises dans le cadre du projet MDR (tableau 4, annexe), dans le Ségui Marek.

Cette carte fait apparaître les zones d'alimentation de cette nappe. Il s'avère que la concordance est parfaite avec la carte des isopièzes.

Les zones de plus faibles valeurs de salinité se situent au nord. Elles sont axées sur les axes administratifs des Matamel. Parmi ces axes on peut citer : Ouéd Ligseou - Ouéd Ségui - Ouéd el Hachba et les petits cours descendant de Saher et Tisour.

La zone à forte salinité correspond à la partie en aval située à l'Est de la GP7.

La forte densité de puits de surface ne fait qu'intensifier la surexploitation de la nappe. Cette surexploitation provoque des phénomènes irréversibles qui se traduisent par :

- une augmentation de la salinité et par conséquent une dégradation de la qualité chimique de l'eau.
- une contamination à partir de l'eau de drainage dans le sens de le drainage de l'eau par pompage ou en s'intensifiant.

On signale également que la zone pédonculaire de Marsa est limitée au Nord par les sables - Bahria et Tassilaba. Ces deux sables ont contribué aux lieux d'évaporation sont à l'origine de l'existence de salinités élevées à la périphérie de la nappe.

En niveau de Segui Karati, la roche à forte salinité est probablement due à la dissolution de gypse dans la zone à croûte gypseuse en place. Cette dissolution peut être à l'origine de la minéralisation totale élevée de certains puits. En effet, le faible écoulement de la nappe qui se traduit par une pente piézométrique de l'ordre de 2,1"/100, en assure favorable un temps de contact assez long entre l'eau et la roche, ce qui provoque une dissolution des sels minéraux dans l'eau.

2°) Caractéristiques chimiques :

En prenant des points d'eau de la zone amont, médiane et aval, les analyses chimiques représentées sur diagramme ternaire (fig. 6) montrent qu'on a la même famille chimique ; ces sulfates chlorures sodiques ont des teneurs en sulfates et chlorures différentes entre l'amont et l'aval. La dominance des sulfates et chlorures à l'aval de la nappe semble être en liaison avec l'écoulement faible qui est à l'origine d'un temps de contact assez long entre l'eau et la roche ce qui favorise un lessivage des minéraux sulfurés et une dissolution des sels minéraux. Des eaux sulfatées chlorurées sodiques peuvent provenir d'un lessivage des croûtes gypseuses en place suite à la baisse du niveau piézométrique de cette nappe saturée.

VI/ - REPARTITION DE LA NAPPE FISSURÉE DE KARATI

D'après l'inventaire réalisé en 1975, le nombre total de puits de surface à Karati a atteint 503 puits dont 408 sont équipés par secteur de puissance variable allant de 10CV à 30CV, 100 sont équipés par secteur en sous et 2% des puits sont abandonnés.

Le nombre de ces puits représente 50% de l'ensemble des puits de Gabès. Une inventaire supplémentaire en 1975 qui se chiffrent à 976 puits, l'exploitation de ces puits se présente comme suit :

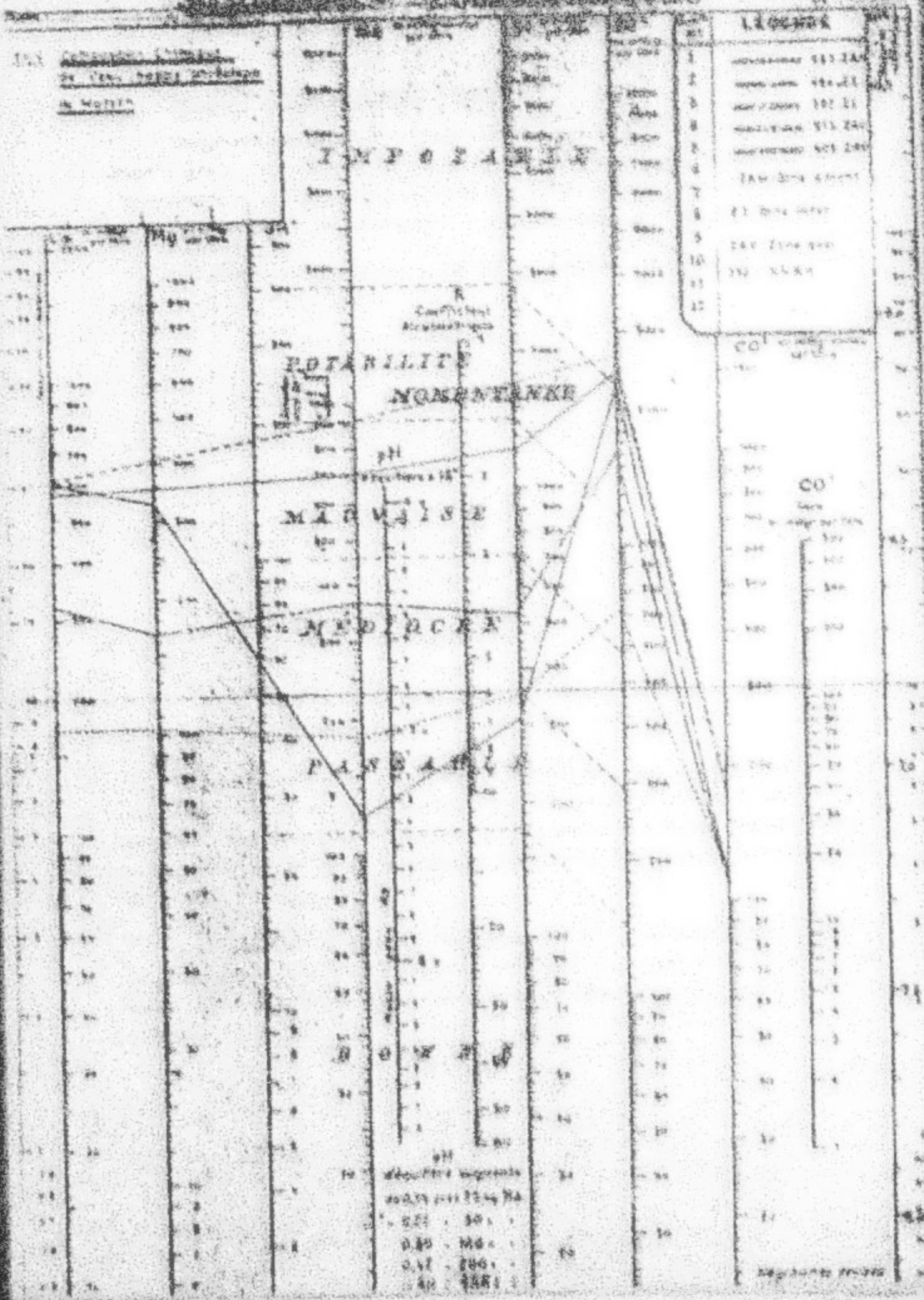
- Les puits équipés d'un moteur : en considérant que le débit d'exploitation moyen par puits est de 0,352 l/s, 303 puits exploitent un débit total continu de 107,56 l/s.

- Les puits équipés par secteur en sous : en se basant sur un débit moyen d'exploitation de 0,05 l/s l.c. par puits équipés par secteur en sous, ces puits donnent un débit total continu de 4,5 l/s.

Le débit d'exploitation total est donc :

$Q_{\text{total}} = 112 \text{ l/s}$

LITHOLOGY



VII/ - RESSOURCES POTENTIELLES DYNAMIQUES

On entend par ressources potentielles dynamiques le volume d'eau qui passe à travers une section de l'horizon aquifère normale à la direction de l'écoulement et qui provient à la nappe par suite de l'infiltration efficace des précipitations et du déversement d'autres horizons aquifères.

La méthode de détermination de ces ressources se base sur la loi de Darcy $Q = K. S. i.$ avec :

K = perméabilité horizontale en m/s

S = section de la nappe normale à l'écoulement en m²

i = pente hydraulique de la nappe.

Cette loi de Darcy peut s'écrire en remplaçant S par $(e \times L)$

$$Q = KSi = K. e \times L \times i = T. L. i.$$

$$Q = T. L. i.$$

T = transmissivité horizontale en m²/s

L = largeur du front de la nappe en mètre

e = épaisseur de la nappe en mètre

i = pente hydraulique de la nappe

Q = débit de la nappe qui passe à travers le front en m³ ou débit de la nappe.

La nappe phréatique de Mareth connaît des variations de la transmissivité horizontale entre l'amont et l'aval et également le long d'une même ligne isopieze. Ceci nous amène à découper la zone amont en tronçons comportant des valeurs moyennes de la transmissivité valables sur une longueur bien déterminée du front de la nappe.

L'estimation de cette transmissivité par la méthode Perchet repose sur l'interprétation des courbes de rabattement et de remontée de niveau d'eau de la nappe, à la suite d'un essai de pompage effectué sur un puits à débit constant.

CALCUL DES RESSOURCES HYDROLOGIQUES

1°) Zone amont 1 : Oued Elgram:

L'isopliète prise en considération est la courbe 47.

Données : $L = 8,3$ km ; $i = 2,5\%$; $T = 1,44 \cdot 10^{-3}$ m²/s

$$Q_{\text{est}} = 29,04 \cdot 10^{-3} \text{ m}^3/\text{s} \quad (\text{Puits n}^\circ 395 : \text{Salah H. Pradj Tahai})$$

2°) Zone amont 2 : Oued el Lercibe

L'isopliète prise en considération est la courbe 45.

Données : $L = 4,1$ km ; $i = 3,2\%$; $T = 2,7 \cdot 10^{-3}$ m²/s

$$Q_{\text{est}} = 35,4 \cdot 10^{-3} \text{ m}^3/\text{s} \quad (\text{Puits n}^\circ 417 : \text{H. M'hamed Hytoub})$$

3°) Zone amont 3 : Baber et Tleuz

L'isopliète prise en considération est la courbe 45.

Données : $L = 3,5$ km ; $i = 6,6\%$; $T = 1,04 \cdot 10^{-3}$ m²/s

$$Q_{\text{est}} = 22,65 \cdot 10^{-3} \text{ m}^3/\text{s} \quad (\text{Puits : Remound Salabeddine})$$

Le débit total qui passe à travers les trois sections amont :

$$Q_{\text{est}} = 87,93 \text{ l/s}$$

4°) Zone aval :

L'isopliète prise en considération est la courbe 25.

Données : $L = 5,03$ km ; $i = 6\%$; $T = 0,1 \cdot 10^{-3}$ m²/s

$$Q_{\text{est}} = 6,036 \text{ l/s} \quad (\text{Puits n}^\circ 356 : \text{Belgacem Eloul})$$

1. 2. 3. 4. 5. 6. 7. 8. 9. 10. 11. 12. 13. 14. 15. 16. 17. 18. 19. 20. 21. 22. 23. 24. 25. 26. 27. 28. 29. 30. 31. 32. 33. 34. 35. 36. 37. 38. 39. 40. 41. 42. 43. 44. 45. 46. 47. 48. 49. 50. 51. 52. 53. 54. 55. 56. 57. 58. 59. 60. 61. 62. 63. 64. 65. 66. 67. 68. 69. 70. 71. 72. 73. 74. 75. 76. 77. 78. 79. 80. 81. 82. 83. 84. 85. 86. 87. 88. 89. 90. 91. 92. 93. 94. 95. 96. 97. 98. 99. 100.

Evolution du la production de pain de maïs en fonction du temps

TABLEAU

| Année | Production (kg) | Production (t) |
|-------|-----------------|----------------|
| 1955 | 10.15 | 0.10 |
| 1956 | 6.05 | 0.11 |
| 1957 | 5.75 | 0.15 |
| 1958 | 5.55 | 0.47 |
| 1959 | 7.0 | 0.10 |
| 1960 | 10.00 | 0.0 |
| 1961 | 11.75 | 0.0 |
| 1962 | 11.70 | - |

1. 2. 3. 4. 5. 6. 7. 8. 9. 10. 11. 12. 13. 14. 15. 16. 17. 18. 19. 20. 21. 22. 23. 24. 25. 26. 27. 28. 29. 30. 31. 32. 33. 34. 35. 36. 37. 38. 39. 40. 41. 42. 43. 44. 45. 46. 47. 48. 49. 50. 51. 52. 53. 54. 55. 56. 57. 58. 59. 60. 61. 62. 63. 64. 65. 66. 67. 68. 69. 70. 71. 72. 73. 74. 75. 76. 77. 78. 79. 80. 81. 82. 83. 84. 85. 86. 87. 88. 89. 90. 91. 92. 93. 94. 95. 96. 97. 98. 99. 100.



1. 2. 3. 4. 5. 6. 7. 8. 9. 10. 11. 12. 13. 14. 15. 16. 17. 18. 19. 20. 21. 22. 23. 24. 25. 26. 27. 28. 29. 30. 31. 32. 33. 34. 35. 36. 37. 38. 39. 40. 41. 42. 43. 44. 45. 46. 47. 48. 49. 50. 51. 52. 53. 54. 55. 56. 57. 58. 59. 60. 61. 62. 63. 64. 65. 66. 67. 68. 69. 70. 71. 72. 73. 74. 75. 76. 77. 78. 79. 80. 81. 82. 83. 84. 85. 86. 87. 88. 89. 90. 91. 92. 93. 94. 95. 96. 97. 98. 99. 100.

L'utilisation des données des résultats de la surveillance de la nappe phréatique de Haroth et des inventaires effectués en 1969, 1977, 1979 et 1985, a permis la représentation de l'évolution de la profondeur du plan d'eau au centre de temps dans un même puits de surface (fig. 4).

On constate qu'il y a une baisse continue du niveau piézométrique de cette nappe causée par l'exploitation actuelle de la nappe (112 l/s) qui excède les ressources potentielles dynamiques (80 l/s). Cette baisse nous oblige à limiter les nouvelles créations de puits afin qu'on puisse protéger les puits existants et éviter la dégradation de la situation actuelle.

VIII/ - CONCLUSION

La nappe phréatique de Haroth est exploitée par un nombre important de puits qui captent les formations détritiques du Quaternaire.

La concentration spectaculaire des puits de surface se situe en aval de la QP dans la zone aval de la nappe. Cette concentration a tendance à se manifester également dans la zone amont. Vu le taux d'équipement élevé de ces puits (50%) la surexploitation de cette nappe ne peut que s'aggraver avec le temps en provoquant des phénomènes irréversibles (baisse du niveau piézométrique, dessèchement du puits, augmentation de la salinité).

En ce fait la création supplémentaire de puits de surface dans cette zone ne peut qu'avantager ces phénomènes, il est donc temps d'instaurer une zone de surveillance au niveau de Haroth et de développer les travaux de C R S dans les lits des canals Sigrane et Segui Haroth pour augmenter la recharge de la nappe phréatique.

E. AYDI

REFERENCES BIBLIOGRAPHIQUES

- DEB BACCAR, B. : Contribution à l'étude hydrogéologique de l'aquifère multi-couche de Gabès Sud. Université de Paris Sud (Centre d'ORSTOM)
PARIS, 1962.
- FESHI, M. : Estimation du rajeunissement moyen annuel sur les bassins du Sud-Est, du Sud-Ouest et du Sahel Sud, rapp., int.,
DNE GABES, 1975.
- KAMUS, A. : Etude préliminaire de la nappe phréatique de Gabès Sud
Rapp. int., DNE GABES, 1972.
- KAMUS, A. , DEB BACCAR, B. : Les nappes phréatiques du Sud-Est
Caractéristiques et exploitation. Rapp., int., DNE GABES,
1960.

ARREAR

Tableau n° 2 : Présentation de la norme circulaire
de MARSO

| Nom du pilote | N° d'ordre | Alt. en (m) | K ₁ / (m) |
|-------------------------------|------------|-------------|----------------------|
| Ned B. Khalifa Gannouchi | 249 | 37,83 | 34,53 |
| Mennour El Nektari | 352 | 37,68 | 33,90 |
| Ned B. Hadj Erbi | 349 | 38,60 | 29,7 |
| Abdallah Jaber | 353 | 37,76 | 29,61 |
| Belgacem B. Marouf Farjami | 354 | 36,18 | 30,08 |
| Belgacem A. B. Kraïem | 345 | 35,18 | 29,30 |
| Ned B. Ali B. Sghaier Aoudi | 350 | 37,0 | 32,8 |
| Salah B. Ali B. Moudhane | 341 | 48,806 | 32,766 |
| Amor B. Hadj Abdallah Krakab | 350 | - | 35,18 |
| Yahya Mourouzi | 356 | 45,00 | 34,33 |
| Ali Garraï | 308 | 46,74 | 34,39 |
| Hadj Ben Abid Tablan | 309 | 37,307 | 35,307 |
| Amor B. Hfaïedh Cherguï | 307 | 45,76 | 34,76 |
| Salih Nouaili | 300 | 45,39 | 32,39 |
| Ali B. Kilouï B. Kraïem | 306 | 43,38 | 32,85 |
| Abdallah B. Shoua Makrouf | 310 | 40,81 | 29,817 |
| H'amed B. Belgacem | 316 | 44,37 | 32,07 |
| H'amed Harabi | 314 | 42,24 | 32,74 |
| Belgacem B. Ali Zitouni | 282 | 37,05 | 29,25 |
| Ned B. Hfaïedh Erbi | 281 | 41,25 | 27,85 |
| Abdallah B. Amor Erbi | 285 | 47,75 | 31,00 |
| Belgacem Sakai | 293 | 38,85 | 26,49 |
| Ali B. Abdallah B. Ali | 279 | 37,50 | 25,8 |
| Salih B. Moudhane Erroua | 275 | 40,38 | 27,89 |
| Ali B. Ned Erbi Belala | 295 | 47,50 | 29,29 |
| Ali B. Salim B. Amor Cherguï | 299 | 46,48 | 28,68 |
| Hadj H'amed B. Hfaïedh Harraï | 271 | 42,40 | 30,85 |
| H'amed B. Abdallah Bouajja | 270 | 45,40 | 35,05 |
| Amor Ben Amam | 273 | 44,39 | 34,44 |
| Hadj El Koudri | 262 | 47,718 | 37,718 |
| Hfaïedh B. Hadj Harraï | 266 | 43,343 | 40,043 |
| Ned B. Gueddy Harraï | 268 | 48,45 | 36,5 |

Suite Tableau n° 2

| | | | |
|-------------------------------|-----|--------|--------|
| Ali B. Meftah Tahli | 411 | 56,77 | 41,57 |
| Kfaïedh B. Khouma Jeder | 401 | 60,27 | 40,99 |
| Hadj Sghaïer Selina | 457 | 63,200 | 38,00 |
| Bir el Keaba | 412 | 53,10 | 45,6 |
| Ahmed B. Med Arroum | 413 | 60,36 | 46,96 |
| Hadj Majdoub | 417 | 55,55 | 45,45 |
| Gouider B. Zitouni B. Haj | 426 | 54,90 | 39,5 |
| Ammar B. M'hamed el Ourfelli | 419 | 52,45 | 39,86 |
| Salah B. Pradj Talbi | 395 | 52,76 | 40,21 |
| Hadj Ali Koussni | 379 | 55,44 | 42,94 |
| Med Salah Sayah | 385 | 55,577 | 46,27 |
| Jenni Bouajaja | 362 | 34,945 | 49,995 |
| Sabbi el Gattoufi | 253 | 48,97 | 48,43 |
| Abdallah Bekir 1 | 444 | 52,32 | 37,82 |
| Abdallah B. Sassi Jeder | 439 | 55,70 | 40,7 |
| Mohamed Chibani Jeder | 440 | 55,57 | 41,82 |
| El Hadj Mohamed | 446 | 53,967 | 39,667 |
| Belgacem B. Kfaïedh B. Kraïem | 449 | 52,42 | 39,62 |
| Hadj Mohamed Triki | 451 | 53,29 | 44,49 |
| Kraïem B. Hmad Kribi | 455 | 52,57 | 39,17 |
| Ammar B. Chibani 2 | 460 | 58,19 | 40,14 |
| Med B. Ali Rhouma | 462 | 59,68 | 41,28 |
| M'hamed B. Ali Dhib | 465 | 55,77 | 40,67 |
| Amer B. Hmad El Meddeb | 469 | 60,58 | 45,65 |
| Hadj Abdallah Arroum | 476 | 52,431 | 47,331 |
| Ali Ben Gouider Natta | 498 | 51,161 | 43,101 |
| Bouhaid Abdallah | 499 | 52,125 | 40,925 |

Tableau n° 3 : Mineralisations totales des eaux dans
les puits de surface de Mervin
(Inventaire de 1985)

| Nom de puits | N° d'ordre | R.S.
en mg/l | Clé
minérale | g/l |
|-----------------------------|------------|-----------------|-----------------|------|
| Aboud El Mousni | 1063 | 3620 | 4,5 | 7,0 |
| Amor B. M'hamed B. Salah | 978 | 5760 | 6,4 | 7,7 |
| Chikeni Kilani | 983 | 7140 | 2,3 | 7,9 |
| Louhicki Triki | 430 | 5100 | | |
| Ali Sabhat | 464 | 3320 | 4,0 | 7,8 |
| M'hamed H. Ali Ghil | 485 | 5320 | 4,0 | 7,8 |
| Habib Sabhat | 647 | 3160 | 5,2 | 7,8 |
| Bezen B.Mustah B.Ali Taibi | 372 | 3320 | 4,12 | - |
| Kraïem Lassine 2 | 952 | 3640 | 3,33 | - |
| Abdallah B. Ned Zitoun | 382 | 4860 | 4,3 | 8,0 |
| Ned B. Belgacem El Bay | 659 | 4280 | 4,5 | 7,9 |
| Ned B. Lakdhar Adou | 806 | 2920 | 3,27 | 7,7 |
| Abdallah Bakir 1 | 464 | 2400 | 3,12 | 7,7 |
| Hafedh Ben Ghibani | 445 | 3200 | 3,5 | 7,75 |
| Ned B. Kraïem Zribi | 446 | 3700 | 3,09 | 7,85 |
| Haj Mohamed B. Gauthier | 467 | 4360 | 4,32 | 7,7 |
| Belgacem B.Hafedh B.Kraïem | 469 | 4420 | 4,36 | 7,8 |
| Ned B. Abdallah Jader | 634 | 1900 | 3,68 | 7,8 |
| Mohamed B. Ghizal Jader | 615 | 1960 | 2,79 | 7,7 |
| Abdallah Bakir 2 | 605 | 2800 | 5,55 | |
| Ned B. El Hadj Meftak | 971 | 3780 | 5,08 | 7,7 |
| Habib Achour Jilid | 587 | 3060 | 4,01 | |
| Hadj Abdallah Arroua | 496 | 3500 | 3,77 | 7,8 |
| Ali Ben Gualder Netta | 498 | 3880 | 4,77 | 7,8 |
| Rozaïd Abdallah | 479 | 3440 | 4,37 | 7,8 |
| Yakya El Naari | 1081 | 5480 | 3,48 | - |
| M'hamed B.Abdallah Bouajaja | 270 | 3680 | 3,49 | - |
| Abdelkarim Bakir | 1087 | 4500 | 6,55 | - |
| Arabi B. Kilani Arabi | | | | |

Tableau N° 4 : Réindustrialisation totale des puits
dans les unités de surfaces de Marsat

(Projet P281)

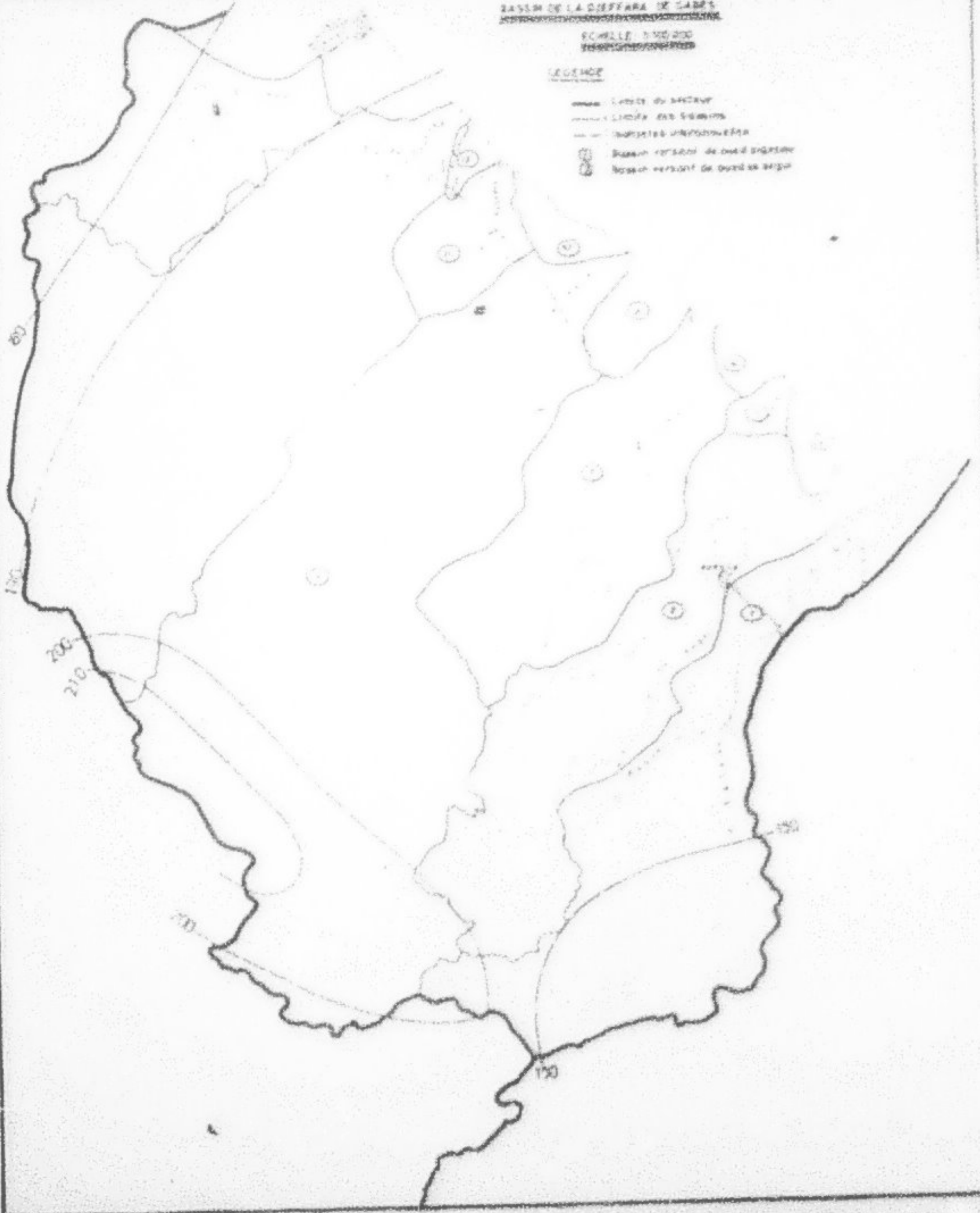
| Nom du puits | P.S.
en mg/l | Date |
|---------------------------------------|-----------------|-------------|
| Gouider B. Mohamed Gaidar | 2000 | " |
| Chetoui Belgassen B. Ahmed | 2100 | Décembre 85 |
| All B. Mohamed Belheiga | 3000 | Octobre 85 |
| Gouider Mohamed B. Amor B.
Sfaïedh | 2500 | Octobre 85 |
| Mohamed B. Ahmed Zribi | 1900 | Décembre 85 |
| Bou Abden Ahmed | 2740 | Octobre 85 |
| Mohamed B. Abdallah B. Khedira | 2620 | " |
| Silvoni Mohamed Houri | 2240 | Décembre 85 |
| B. Jaber Salem B. Ali | 3500 | Décembre 85 |
| Med B. Ahmed D. Jilani Antol | 2900 | " |
| Shari Med Houri B. Abdelaziz | 4300 | Décembre 85 |
| Akroum Med B. Edouard B. Med | 5500 | Octobre 85 |
| Hébi B. Amor Bourasse | 4800 | " |

BASSIN DE LA DIFFARA DE L'ADRE

ECHELLE 1:50,000

LEGENDE

- Limite de bassin
- Limite des versants
- - - - - Lignes de nivellement
- Bassin versant de nord-est
- Bassin versant de nord-ouest



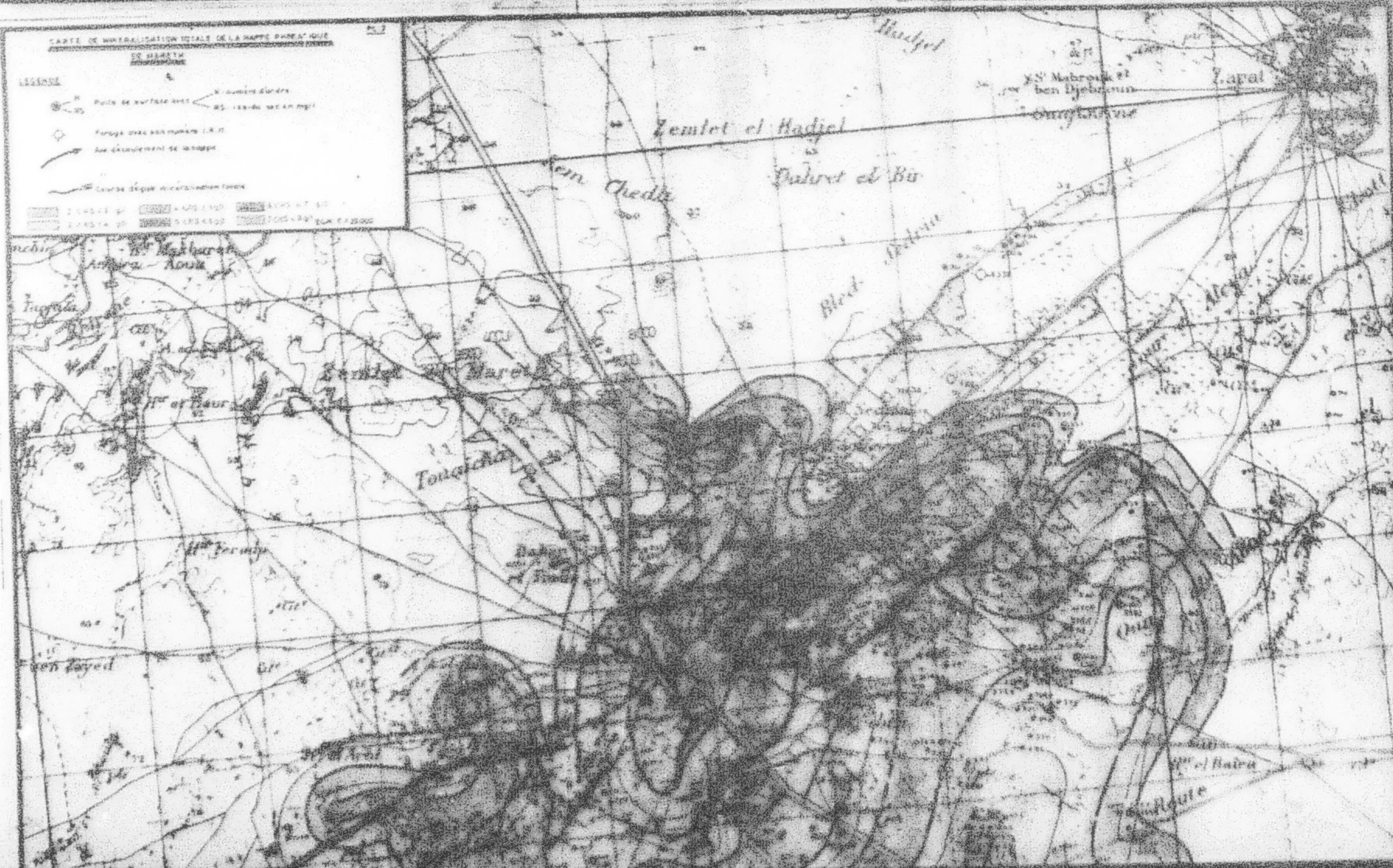
CARTE DE MINÉRALISATION GÉNÉRALE DE LA RÉGION SAHARIENNE

DE MARSEILLE

LEGENDE

- Puits de surface avec N. nombre de mètres
- Forage avec son numéro (1-20)
- Anémomètre de la région
- Course de puits

| | | |
|-----------|-----------|-----------|
| 1000-1500 | 1500-2000 | 2000-2500 |
| 2500-3000 | 3000-3500 | 3500-4000 |



FIN

32

VUBS